

Державна служба України з надзвичайних ситуацій



Львівський державний
університет безпеки
життєдіяльності

XII Міжнародна
науково-практична конференція
молодих вчених, курсантів та студентів

**ПРОБЛЕМИ ТА ПЕРСПЕКТИВИ
РОЗВИТКУ СИСТЕМИ
БЕЗПЕКИ ЖИТТЕДІЯЛЬНОСТІ**

Частина II



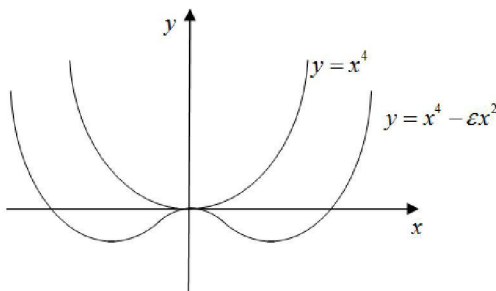
Львів - 2017

Сабадін Ю.В. РОЛЬ ПРОФІЛАКТИЧНИХ МЕДИЧНИХ ОГЛЯДІВ У ТРУДОВІЙ ДІЯЛЬНОСТІ	156
Савінська Н.В. ЕКОЛОГІЧНА ОЦІНКА АЕРОЗОЛЬНОГО ВИКИДУ ХАЕС	158
Синюк Б.В. БЕЗПЕКА ПРИ РОБОТІ З РІЗНИМИ ТИПАМИ ВИСОКОТЕХНОЛОГІЧНИХ 3D-ПРИНТЕРІВ	160
Степанов В. С. МАТЕМАТИЧНА МОДЕЛЬ ВИБУХОНЕБЕЗПЕЧНИХ ПРИМІЩЕНЬ З ПРИРОДНИМ ГАЗОМ	163
Ткачук О.Я. ЩОДО ПИТАННЯ ПОМИСЛОВОЇ БЕЗПЕКИ НАФТОГРАНСПОРТНОЇ ГАЛУЗІ В КОНТЕКСТІ НЕСАНКЦІОНОВАНОГО ПОРУШЕННЯ ЦІЛІСНОСТІ МАГІСТРАЛЬНИХ ТРУБОПРОВОДІВ	165
Токарська В.С. ЗАХВОРЮВАННЯ ВНАСЛІДОК ДІЇ ФОСФОРНИХ ДОБРИВ	167
Уманцев Н.Ю. ВИКОРИСТАННЯ САМОХІДНОГО ГУСЕНИЧНОГО ШАСІСТ ДЛЯ ВИКОНАННЯ ДОПОМОЖНИХ РОБІТ В ТРУДНОДОСТУПНИХ МІСЦЕВОСТЯХ	169
Фартух В.С., Хаціївська А.М. АНАЛІЗ ВИРОБНИЧОГО ТРАВМАТИЗMU В УКРАЇНІ	171
Яциніак А. А., Лисенко О. Ю., Ілько І. В. ЗАХИСТ РЯТУВАЛЬНИКІВ ВІД ІНТЕНСИВНОГО ТЕПЛОВОГО ВИПРОМІНЮВАННЯ	173

Секція 9

ПРИРОДНИЧО-НАУКОВІ АСПЕКТИ БЕЗПЕКИ ЖИТТЄДІЯЛЬНОСТІ

Біленко Н.В. МАТЕМАТИЧНЕ МОДЕЛЮВАННЯ ОПТИМІЗАЦІЇ РОЗТАШУВАННЯ ЛОГІСТИЧНОГО ОБ'ЄКТА ПРИ ОБМежЕННЯХ	175
Гончар А.В. ЦЕНТРИ ЗАХОПЛЕННЯ КРИСТАЛІВ ГАЛОЇДНИХ СПОЛУК КАДМІЮ	177
Гончар А.В. АНАЛІТИЧНИЙ КОНТРОЛЬ ДЕЯКІХ ПЕСТИЦІДІВ В ПРОДОВОЛЬЧІЙ СИРОВИНІ РОСЛИННОГО ПОХОДЖЕННЯ	180
Гловіа В. ВПЛИВ ЗБУРЕННЯ НА ПОВЕДІНКУ ФУНКІЇ ТА ЙОГО ВИКОРИСТАННЯ В ТЕОРІЇ КАТАСТРОФ	182
Драч В.Л. НЕЗВИЧАЙНІ ВЛАСТИВОСТІ ЗВИЧАЙНОЇ ВОДИ	184
Кордунова Ю. КВАДРАТИЧНІ ЛІШКИ. СИМВОЛИ ЛЕЖАНДРА ТА ЯКОБІ	186
Лазарук Б. СТРУКТУРНА СТИКІСТЬ ФУНКІЙ В ТЕОРІЇ КАТАСТРОФ..	188
Мельник М., Тимофесова І. ДИФЕРЕНЦІАЛЬНЕ РІВНЯННЯ ПРУЖНОЇ ЛІНІЇ ЗМІШЕНОГО СТЕРЖНЯ	190
Овсяк Н., Слободянік Н. ДОСЛІДЖЕННЯ ВИТРИВАЛОСТІ ВАЛА ЗА УТОЧНЕНИМИ ГЕОМЕТРИЧНИМИ ХАРАКТЕРИСТИКАМИ ПЕРЕРІЗУ ..	193
Слободянік Н., Сидорук М. ДОСЛІДЖЕННЯ ПОЗДОВЖНЬО-ПОПЕРЕЧНОГО ЗГИНУ ДВООПОРНОЇ БАЛКИ ЗА РІЗНОГО ПОПЕРЕЧНОГО НАВАНТАЖЕННЯ	194
Судніцин Ю.Т. АНАЛІЗ ВІДОМІХ ЗАЛЕЖНОСТЕЙ ДЛЯ ВИЗНАЧЕННЯ ВТРАТ ТИСКУ ПРИ ТЕЧІЇ ПСЕВДОПЛАСТИЧНИХ РІДИН	197



Rис. 3

Збурені функції можна розглядати, як функції, що залежать від параметра ε . В описаних прикладах, коли $\varepsilon = 0$ виникає структурно нестійка критична точка. Саме ця точка є найважливішою, оскільки з нею пов'язані якісні зміни в поведінці функцій. В зв'язку з такими задачами виникло поняття “біфуркація”, що позначає всеможливі якісні перебудови різних об'єктів внаслідок зміни параметрів, від яких вони залежать. В прикладі $y = x^4 - \varepsilon x^2$ значення параметра $\varepsilon = 0$ відповідає точці біфуркації. Задача дослідження точок біфуркації полягає в їх класифікації і аналізі поведінки функцій поблизу структурно нестійких критичних точок [1].

Література:

1. Маневич Л.И. О теории катастроф. Соросовский образовательный журнал. Том 6, № 7, 2000. – С 85 - 90.

УДК 539.3

ДИФЕРЕНЦІАЛЬНЕ РІВНЯННЯ ПРУЖНОЇ ЛІНІЇ ЗМІЩЕННОГО СТЕРЖНЯ

Мельник М., Тимофесіва І.

Дзюба Л.Ф., канд. т. н., доцент, Чмир О.Ю., канд. ф.-м. наук, доцент
Львівський державний університет безпеки життєдіяльності

У металевих елементах конструкцій з плином часу відбуваються деградаційні процеси (корозія, втома тощо), які за тривалої експлуатації призводять до різноманітних пошкоджень [1]. Корозійні чи втомні пошкодження зумовлюють зміни геометричних параметрів поперечного перерізу елемента конструкції та його напруженого деформованого стану. Під час техніч-

ного обслуговування та ремонтів елементи конструкцій піддають струменево-абразивній обробці. За певних режимів такої обробки у приповерхневих шарах матеріалу утворюються залишкові пластичні напруження, зумовлені деформаціями наклепу. Таке зміщення зменшує виникнення та розвиток втомних тріщин, які зазвичай зароджуються на поверхні [2]. Якщо зміщений стержневий елемент конструкції (рис. 1, а) працює на сумісну дію розтягу та згину, то в його поперечних перерізах виникають: нормальні напруження розтягу σ_p (рис. 1, б), нормальні напруження згину σ_{3z} , які лінійно розподілені по висоті поперечного перерізу (рис. 1, в), нормальні напруження стиску σ_c у приповерхневих шарах матеріалу внаслідок зміщення (рис. 1, г). У разі сумісної дії розтягу, згину та стиску центр повороту перерізу не збігається з його геометричним центром і розміщений на відстані η від зовнішнього зміщеного шару волокон матеріалу (рис. 1, д).

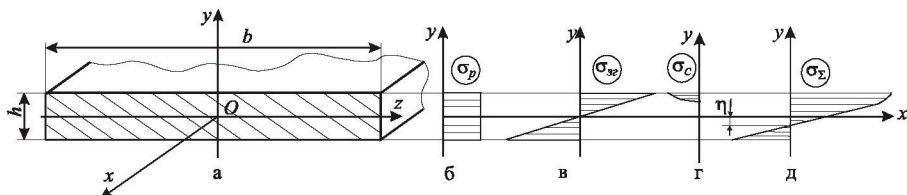


Рисунок 1 – Епюри напружень у перерізі стержня

Згідно з [3], для стержнів з прямою віссю на підставі гіпотези плоских перерізів деформацію від сумісної дії розтягу та згину розглядають як суму деформацій: сталої по висоті перерізу деформації розтягу ε_p та лінійно залежної від координати y перерізу деформації згину ε_{3z} :

$$\varepsilon = \varepsilon_p + \frac{\partial \varphi(x)}{\partial x} y, \text{ де } \varphi(x) - \text{кут повороту перерізу, який можна розглядати}$$

як відношення кута повороту φ_x при згині без зміщення центра перерізу та кута φ_η , що виникає через зміщення центра перерізу під впливом поздовжнього розтягування та стискання приповерхневих шарів матеріалу, тобто

$$\varphi(x) = \frac{\varphi_x}{-\varphi_\eta}.$$

Для поздовжньо розтягнутого зміщеного стержня диференціальне рівняння пружної лінії

$$\frac{\partial \varphi(x)}{\partial x} = \frac{M_{\Sigma}(x)}{E \cdot I_z(x)}, \quad (2)$$

де $M_{\Sigma}(x) = M(x) + (w(x) + \eta(x))F$ – сумарний згиальний момент у перерізі стержня з координатою x , $M(x)$ – згиальний момент від поперечних сил, $w(x)$ – прогин стержня без урахування зміни геометрії осі, $\eta(x)$ – прогин від зміни геометрії осі стержня через поверхневе зміщення матеріалу, F – поздовжня сила, E – модуль пружності матеріалу, $I_z(x)$ – осьовий момент інерції поперечного перерізу який загалом може змінюватись по довжині стержня через наявність нерівностей від поверхневого зміщення матеріалу.

Ураховуючи в (2), що $\varphi(x) = \frac{\varphi_x}{-\varphi_{\eta}}$, $\varphi_x = \frac{\partial w(x)}{\partial x}$,

$\varphi_{\eta} = \frac{\partial \eta(x)}{\partial x} = \eta'(x)$, та виконавши диференціювання добутку двох функцій, дістаємо диференціальне рівняння пружної лінії зміщеного розтягнутого стержня:

$$\frac{\partial^2 w(x)}{\partial x^2} - \frac{\eta''(x)}{\eta'(x)} \cdot \frac{\partial w(x)}{\partial x} + \frac{\eta'(x) \cdot F}{E \cdot I_z(x)} w(x) = \frac{-\eta'(x)(M(x) + \eta(x)F)}{E \cdot I_z(x)}. \quad (3)$$

Диференціальне рівняння (3) є неоднорідним нелінійним диференціальним рівнянням другого порядку зі змінними коефіцієнтами, розв'язок якого залежить від вигляду функцій $\eta(x)$, $M(x)$, $I_z(x)$. Розв'язок рівняння (3) за відповідних краївих умов та вигляду вказаних функцій дозволить дослідити розподіл напружень у поперечних перерізах зміщеного стержня та оцінити його міцність.

Література:

1. Дзюба Л.Ф. Основи надійності машин. // Дзюба Л. Ф., Зима Ю. В., Лютий Е. М. / Львів, Логос, 2003. – 204 с.
2. Серенсен С.В. Несущая способность и расчет деталей машин // Серенсен С. В., Когаев В. П., Шендерович Р. М./ М.: Машиностроение, 1975. – 378 с.
3. Биргер И. А. Сопротивление материалов: Учебное пособие. // Биргер И. А., Мавлютов Р. Р. — М.: Наука. 1986.— 560 с.